

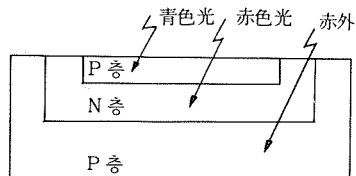
## 半導體 컬러센서를 이용한応用回路 外

日本 半導體 컬러 센서 PD-150, PD-151(赤外 카드 휠터 内藏)은 素子自身의 光學的 휠터 特性을 積極的으로 利用하여 光의 波長을 認識하는 새로운 센서이다. 本素子는 光의 波長에 대하여 感度가 다른 두 가지의 포트 다이오드(PD1: 短波長感度大, PD2: 長波長感度大)를 하나의 침에構成한 素子로서 各己 포트다이오드의 光電流를 信號處理할 수 있으며 光의 波長에 對應하는 電氣出力を 얻을 수 있다.

### 1. 動作原理

半導體 컬러 센서 PD-150은 하나의 基板 가운데 두 가지의 Pn接合(포트다이오드)를 縱形에 組立한 素子로서 同時에 실리콘의 두께면을 光學 휠터로서 利用한 것이다.

図1. 光의 波長과 吸收의 관계



그 가운데 図1에 表示한 것을 보면 短波長의 光은 실리콘의 表面 가까이에 吸收되며 長波長의 光은 깊은 部分에 吸收되기 때문에 얇은 곳에 PN接合에 의한 포트다이오드 PD1은 短波長感度가 커지며 깊은 곳의 PN接合에 의한 포트다이오드 PD2는 長波長感度가 커지게 된

다. 이 特性을 圖2에 表示한다.

이 分光感度 特性보다 光의 波長에 對應한 信號(컬러信号)를 發生하는 信號處理方法으로서 上記의 포트다이오드의 短絡電流의 比를 取하는 方式이 쓰여지고 있음에 따라 圖2에 의한

図2. 分光감도특성

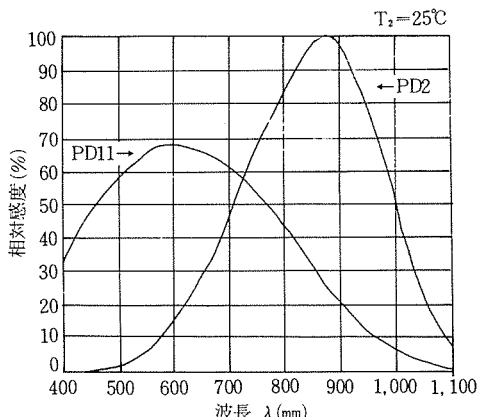
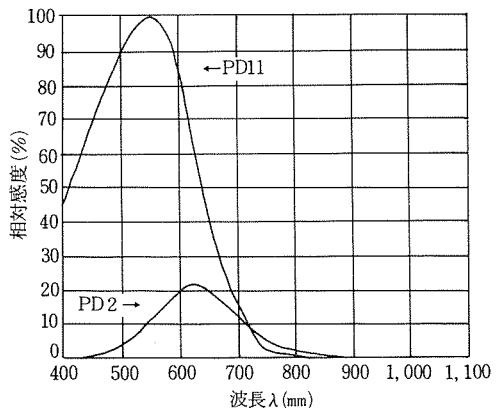
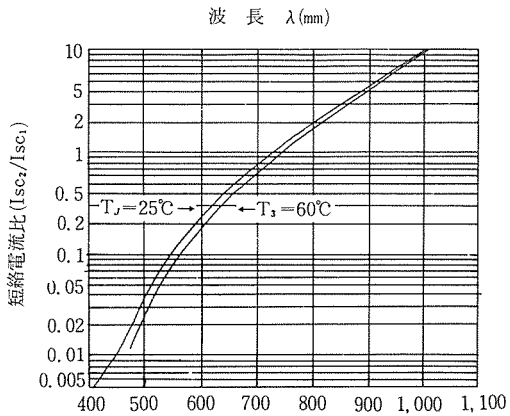


図3. 分光감도특성(PD-151)



短絡電流比 ( $I_{sc2} / I_{sc1}$ ) 와 入射光의 波長 ( $\lambda$ ) 的 關係를 求한다면 圖 4 와 같이 된다. 이 그림으로 부터 分明한 것은 하나의 波長에 대하여 短絡電流比는 1對1로 對應함에 따라 光의 色(波長)을 읽을 수 있도록 보여준다. 이와같이 PD-150에 의한 青色光으로 부터 赤外放射까지의 各 波長의 檢出이 可能하게 된다.

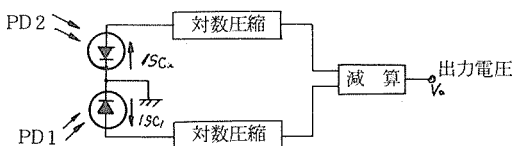
또한 人間의 눈은 700nm 까지의 긴 波長에 感度를 가지기 때문에 컬러信号를 읽을 수 있는 것 보다 比視感度에 가깝게 할 것을 目的으로 PD-150에 赤外카드휠터를 内藏한 것이 PD-151이다. 이 分光感度特性을 圖 3에 表示한다.



## 2. 使用方法(信号處理回路例)

半導體 컬러 센서를 쓴 波長檢出器의 信号處理回路例의 브록그림을 圖 5에 表示한다. 두가지의 포트다이오드에 의하여 얻어진 短絡電流  $I_{sc1}$ ,  $I_{sc2}$ 는 각각 對數壓縮되어 그後 減算回路에

圖 5. 信号處理回路例의 브록그림



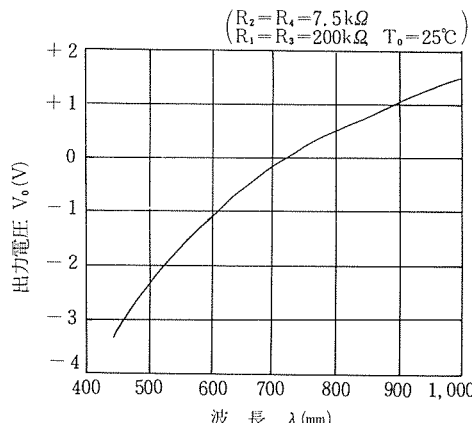
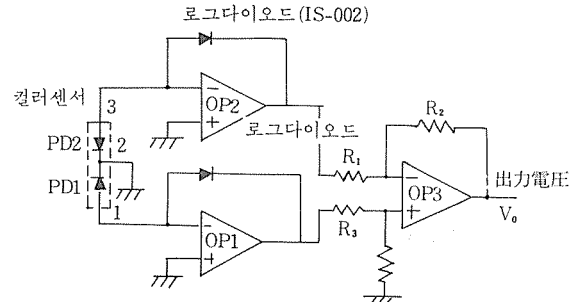
의해 減算되어진 出力電壓  $V_o$ 가 얻어 진다. 그 러므로 다음 式이 成立된다.

$$V_o \propto \log(I_{sc2}) - \log(I_{sc1}) = \log(I_{sc2}/I_{sc1})$$

圖 2 및 圖 3에서 表示된 分光感度 特性 으로 부터 밝혀진 것과 같이 入射光의 強度가 變化되 기 때문에  $I_{sc2}/I_{sc1}$ 의 値은 一定하게 되기 때

문에 上式의 關係로 부터 出力電壓  $V_o$ 는 變化가 없다. 信号處理回路의 具體例를 圖 6에, 이 信号處時回路에 의한 出力電壓  $V_o$ 와 入射光의 波長과의 關係의 代表的 例를 圖 7에 表示한다.

圖 6. 信号處理回路具體例



## 3. 應用

半導體 컬러 센서의 活用에 있어서 다음과 같은 例가 생각된다.

### ① 光源의 色溫度 및 波長의 測定(圖 8 參照)

光源으로 부터의 빛을 半導體 컬러 센서에 直接入射되어 光源의 色溫度와 波長의 測定 및 制御를 行한다.

圖 8. 光源의 色溫度 및 波長의 測定



### ② 被測定物의 色의 測定(透過式)(圖 9 參照)

被測定物에 透過된 光을 半導體 컬러 센서에 入射된 被測定物의 色을 測定한다.

### ③ 被測定物의 色의 測定(反射式)(圖 10 參照)

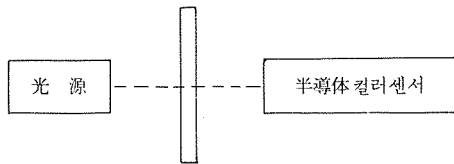


図9. 透過式測定(被測定物의 色)

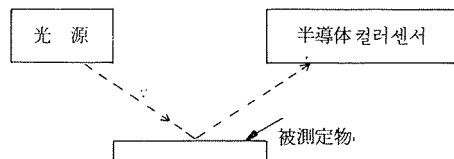


図10. 反射式測定(被測定物의 色)

被測定物에 의하여 反射된 光을 半導體 カラーセンサー에 入射된 被測定物의 色을 測定한다.  
(サ-ニ電子 部品 事業本部 資料提供)

#### 複合機能素子 MFC (MULTI)

近年 多様化되고 있는 電子機器에서 異狀障害, 誤動作, 機能의 停止, 劣化, 破損 등이 急激한 問題로 되고 있다. 이러한 原因이 되고 있는 샤시, 노이즈의 傳播를 防止할 目的으로 MFC (Multi Functional Ceramics) 가 開發되었다.

MFC는 바리스타라고 하는 機能에서 볼때 큰 靜電容量을 가지기 때문에 ns오-더의 フェルス

로 對應 할 수 있다. 또한  $\text{SrTiO}_3$ 系의 材料를 쓰는 것도 있어 큰 샤시耐量을 갖기 위하여 샤시吸收能力이 커지며 또한 同時に 自己復歸機能을 가진 콘텐서에 있어서 機能을 겸하는 것도 있다. 바리스타는一般的으로 샤시吸收를 目的으로 하여 開發되었다. 바리스타는 電壓-電流 特性의 非線形 性能을 利用하여 노이스를 吸收할 機能을 가진 素子이다. 바리스타는 바리스타電壓以上(圖1 參照)의 샤시가 들어가는 경우에는 바리스타의 抵抗值가 急激히 低下되어 負荷側의 임피던스 보다 적게되어 샤-시가 가진 에너지를 低下시킨다. 바리스타는 샤-시 에너지를 減少하는 것이 可能하여 그 機能에 있어서 電流는 바리스터에 크게 흘러가는 電壓은 이 샤-시의

#### MFC의 特性, 特徵

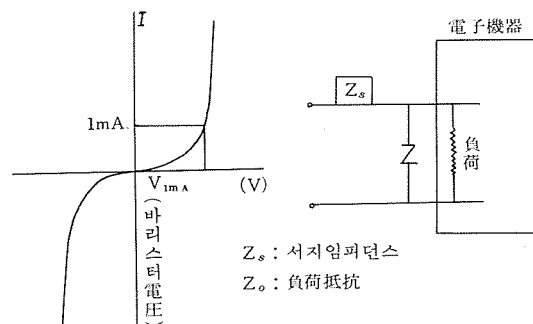


表1 MFC의 規格參考値

(a) MFC14  $\phi$

製品名	最高許AC	容電壓DC	靜電容量参考値(pF)	$V_{10} / V_1$	서 耐 量
MFC-14D-241M	110	150	13,000	1.25以下	5.0J
MFC-14D-281M	125	170	12,000	"	5.0J
MFC-14D-331K	180	250	10,000	"	5.0J
MFC-14D-421K	220	310	9,000	"	5.0J

(b) MFC8  $\phi$

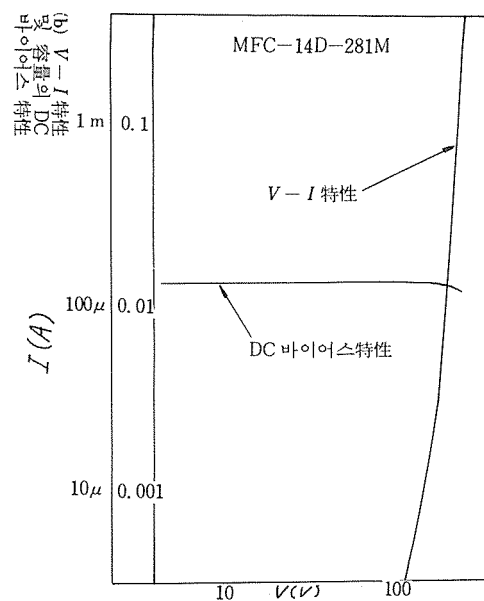
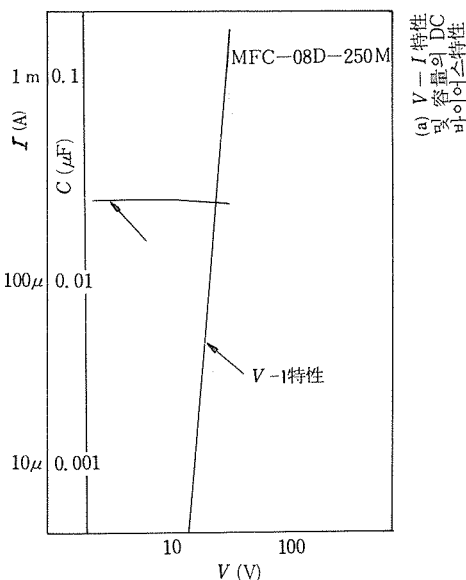
MFC-08D-600M	28	42	14,000	1.25以下	3.0J
MFC-08D-500M	25	35	15,000	"	3.0J
MFC-08D-400M	20	28	17,000	"	3.0J
MFC-08D-300M	14	20	20,000	"	3.0J
MFC-08D-250M	10	16	26,000	"	3.0J

(註) 其他用途에 따른 形狀定格의 變化도 可能。

流入系路에 인덕턴스 成分등의 샤시임피던스  
(例를 들면 電子機器의 電源線에는  $100\Omega$  前後) 가 없는 機器에 並列로 使用하는 方式에는 電壓吸收의 效果는 期待할 수 없다. 또한 바리스타에는 확실히  $\alpha$ 值(非直線抵抗係數)가 커지는 것도 있으나 抵抗變化의 應答時間이 늦어 져서 瞬間的인 電壓노이스는 負荷側에 印加된다.

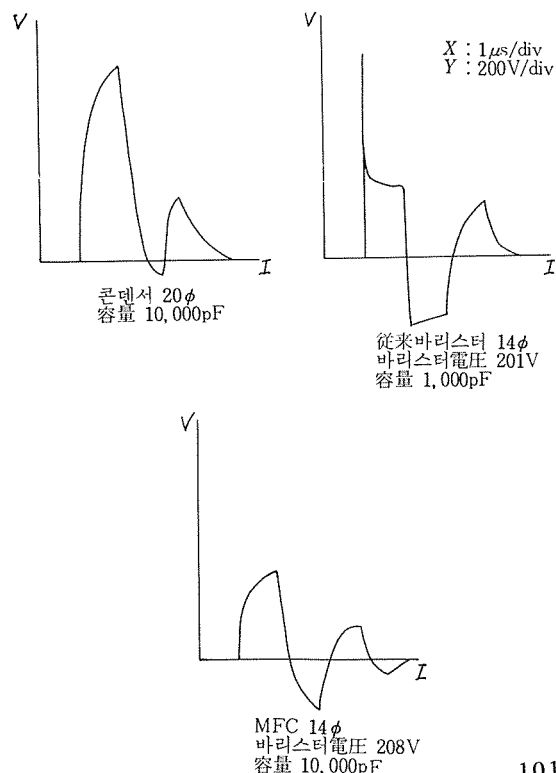
이 瞬間的인 電壓노이스를 위한 對策으로 콘덴서의 過渡現象을 利用하여 콘덴서를 並列에 付加시키는 것에 의하여 瞬間的인 샤-시波形을 發生하는 것이 可能하다. 最近 바리스타와 콘덴서를 並列로 使用하는 對策이 많아 짐에 따라 이러한 複合部品도 상당히 늘고 있다. 그러나 小形化 코스트 다운의 點에서 難點이 있다. 이 러한 背景에서 콘덴서와 바리스타의 複合素子로서 開發되는 高容量性 바리스타(MFC)가 있다. 表 1에 MFC의 規格 參考値를 表示하면 다음과 같다.

表 1에 나타난 바와 같이 MFC는  $\text{SrTiO}_3$  세라믹스를 기초로 한 높은 꾸밈의 比誘電率을 가진 高容量의 콘덴서 機能과 바리스타 機能을 가진 小形複合機能素子로 되어 있다. 圖 2에 MFC의 I-V 特性 및 DC-Cap 特性的 하나의例를 나타낸다.前述한 容量에 의한 瞬間的인 電壓노이스 吸收效果를 理解하기 위하여 极히 短



時間의 高電壓 샤시가 Epod 되는 경우의 콘덴서, 바리스타 및 MFC의 應答모델이 調査되었다. 圖 3은 노이스ミュ레터를 使用하여 1,000V로부터 일어나 1ns의 矩形 펄스를 負荷抵抗 50 $\Omega$

圖 3. 100V, 펄스幅 1 $\mu$ s의 矩形波펄스印加



의兩端에 콘덴서, 徒來品 바리스터 MFC을接續하여 觀測한 波形이다. 콘덴서가 일어나 생기는 것은  $1\mu s$  가까이에는  $1,000V$ 에 達한다. 徒來 바리스타는 일어나는 것이  $1,000V$ 에서 그대로 됨에 따라 뒤에는 I-V特性에 의해 吸收된다. MFC는 일어나기도 하며 다시 I-V特性에 의하여 吸收된다. 即高電壓에도 MFC 容量效果는 나타나고 일어나는 것이 速한 펄스에는 容量이 얻어 질 것이라는 說明이다.

### 1. 誘導雷, 落雷에 對한 MFC의 效果

從來 바리스터는 誘導雷 등의 保護素子로서 알려졌다. MFC도 바리스타로 되어 있는以上 어느정도 서지耐量을 감안하지 않으면 안된다. 거기에는 MFC 281K를 使用하며 JEC-212에 規定되고 있다.  $8 \times 20\mu s$ 의 衝擊電流 試驗을 行하였다. 圖4는 衝擊電流波形과 試驗後의 바리스

타 電壓  $V_{cmA}$ 值의 變化率을 나타낸 것이다. 試驗條件은 30秒 間隔으로 計 2回 印加한다. 圖4에 의하여 밝혀진 것과 같이 이 素子는  $1,000 A/cm^2$ 의 높은 電流를 흘려 보내는 것이 可能하다. 페로프스가이드形 바리스터에 있어서는  $12 \phi$  肉厚  $1mm$ 의 形狀에서  $1000A/cm^2$  이상의 値은 상당히 서지 電流耐量이 높다는 것을 생각하여야 한다.

### 2. MFC의 콘덴서에 있어서의 바이패스 作用

圖2의 DC 바이어스 特性을 보면 MFC는 바리스터 電壓以下의 即 通常使用狀態에서는 콘덴서가 作動하고 圖5에 一例를 보면 MFC 08D 300M과 콘덴서의 周波數 特性을 보여 준다. 콘덴서와 거이 같은 모양의 惣性特性을 보면 바리스타는 바리스타 電壓以上의 서지에 따라 動作하므로 MFC의 容量에 의한 바이패스 效果는

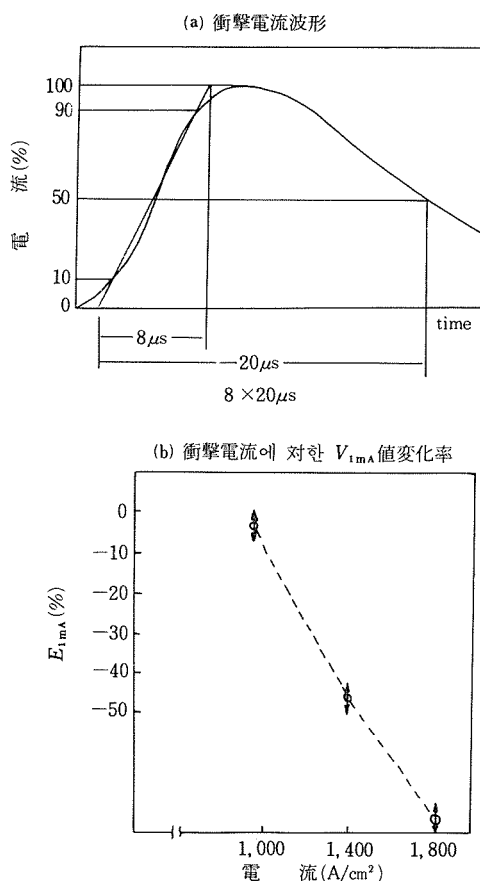
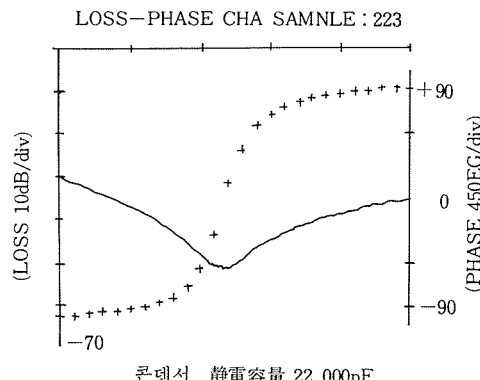


図4



콘덴서 静電容量  $22,000pF$

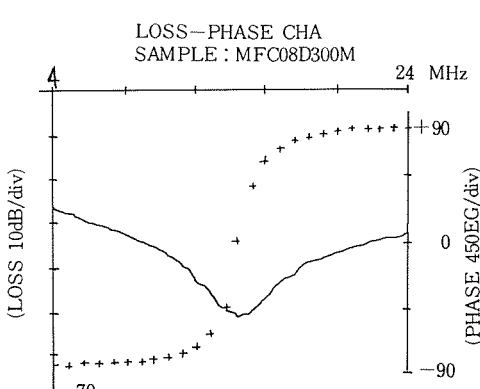


図5

바리스터 電壓에 關係 없이 効果가 얻어 진다. 이 경우 容量이 커지면 낮은 周波數로 부터 動作 된다.

### MFC의 信賴性

MFC는 電子機器의 서 - 지와 노이스에 대한 保護素子로 되어 있기 때문에 그 基本性能에 있어서도 높은 信賴性을 要求한다. 이를 위하여 MFC는 使用中에 일어날 可能性도 있다. 電氣的 機械的 耐候的의 條件을 想定하면 信賴性試驗을 일으키지 않고 信賴性의 向上에 努力하여야 한다.

또한 現在 美國安全規格 (U.L) 등에도 申請 중에 있다. 例를 들면 圖 6에 MFC/4D281K의 高溫負荷試驗 및 濕中負荷試驗의 그라프를 나타내었다.

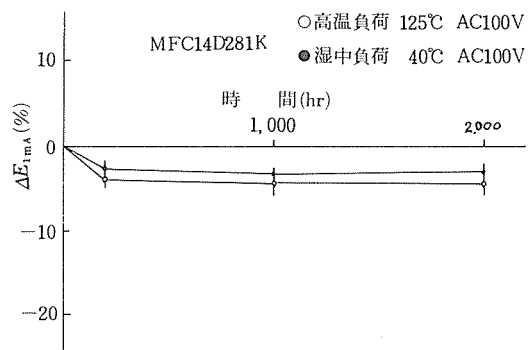


図 6.

### MFC 應用 部品

寫真 1 上은 自動車電裝品, 콘넥터 등에 使用되는 裸円盤貫通形 타잎이다.

上은 電算機, 周辺機器등에 使用하는 콘넥터 裝着用타잎, 中下은 패스라인用 싱클인라인 타잎이다. 写真 2, 写真 3 은 인필스노이스 吸收效果를 주는 TV用 라인휠터, 電算機, 事務機用 노이스 휠터로 되어 있다. 今後 유 - 서의 더 옥 커지는 要求에 따른 MFC의 應用化와 現狀以上의 高性能化, 小形化가 進行되는 것도 생각하여야 한다. 또한 이러한 部品이 널리 理解되면 電子機器에 普及하는 것을 생각하는 것이 다

写真 1.

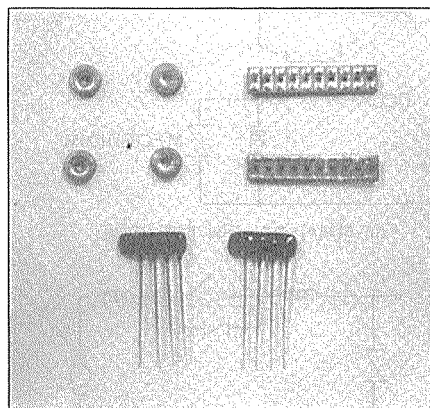


写真 2.

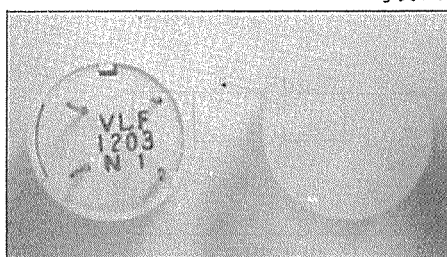
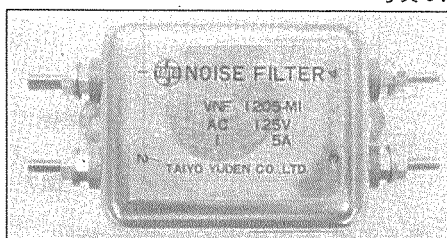
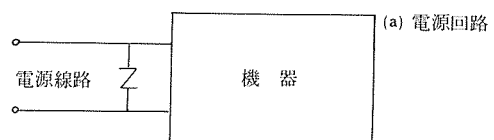


写真 3.

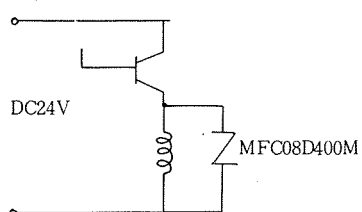


을 課題이다.

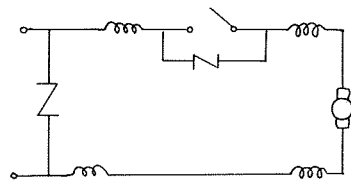
最後의 使用例 가운데一部를 圖 7에 나타낸다.



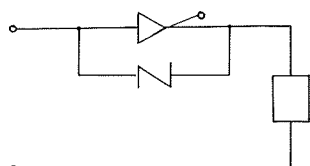
AC100V: MFC14D241M  
AC200V: MFC14D421K



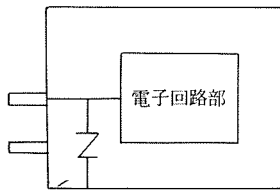
(b) 리레이 코일 등의 開閉器 - 지



(c) 接点保護



(d) 半導体保護



(e) 静電気対策

図 7

#### 光半導體 新機能素子의 最近 動向

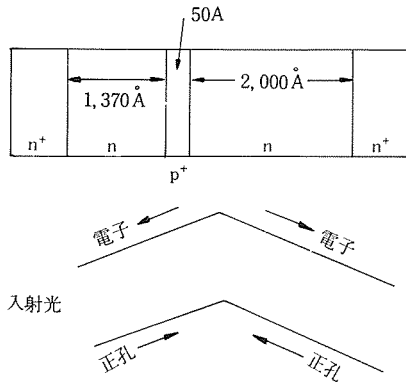
光半導體素子의 發展過程에 있어서 發光다이오드, 半導體레이저의 研究가 서서히 높아지고 있다. 低損失光화이버의 出現에 따라 常溫에서 連續發振의 半導體레이저와 高速光檢出 半導體素子의 實現이 強한 바람이다.  $1\mu\text{m}$ 帶의 光檢出 半導體素子를 除外하고 現在 光通信에 要求되는 特性을 어느 程度 滿足할 결과가 얻어진다. 그러나 화이버라고 불리워지는 傳送線을 얻는 光의 領域에서는 通信 뿐만이 아니다. 光은 매우 多은 分野에 利用되어질 可能性을 가진다. 光檢出 素子는 受信素子임에 反하여 半導體 레이저는 發信素子이다. 光에 의한 情報傳送 以外에 光에 의한 情報處理에는 上記素子 以外의 機能을

가진 半導體素子의 出現이 바람직 하다. 本稿에서는 먼저 檢出素子와 레이저에 對하여는 새로운 方法이 강구되어 特性이 改善된 新素子를 여기에서는 새로운 機能을 가진 增幅動作, 雙安定動作을 보여준 新素子를 紹介하며 最近의 動向을 解説한다.

#### 새로운 高速光檢出素子

圖 1에 나타난 바와같이 그 에너지一帶 變化가 三角形을 이루는 三角障壁다이오드(TRIANGULAR BARRIER PHOTODIODE)가 報告되었다. 이 素子의 不純物 分布가  $n-p^+n$ 로 되

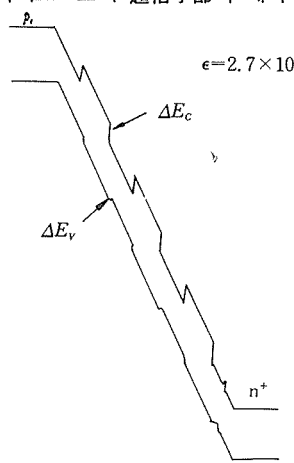
図 1. 三角障壁光다이오드



어 있음에 따라 一見 바이폴라트랜지스터로 생 각되기도 한다. 그러나 이것은  $n$ 形 光導電光檢出膜中에  $P^+$ 層을 挿入하는 方법을 考慮하지 않으면 안된다. 그 結果  $n-P^+n$ 層 全域이 空乏層이 됨에 따라 三角形의 電位分布를 얻는 것이 된다. 左側으로 부터 入射光이 들어가는 경우 그 光은 空乏層에 吸收되어 電子·正孔對를 發生하는 電子는 三角電位에 의하여 空乏層外에 正孔은 三角電位의 頂點에 막혀진다. 그결과 三角電位의 頂部가 낮아지게 되며 左側  $n^+$ 層으로부터 數많은 電子가 右側  $n^+$ 層에 到達하여 入射光에 따른 電流를 얻게 된다. 이와같이 그 動作은 小數캐리아에 의한 것이 되며 多數 캐리아에 따른다. 이  $n-p-n$ 는 대단히 얇은 層이기 때문에 缺陷이 적지 않은 結晶으로 構成되는 率이 높다. 그 結果  $30\mu\text{A}/\text{cm}^2$ 라는 낮은 暗電流를 얻

는다. 바이어스 電壓 2V에서 入射光  $15\mu\text{W}/\text{cm}^2$ 에서  $100\text{mA}/\text{cm}^2$ 의 電流까지는 光子 1 個에 對하여 얻어지는 電子의 數를 表示하는 光利得의 값은 5000이라는 結果를 얻는다. 이와같이 이 素子의 特徵이라는 것은 少數의 正孔에 의한 電位變化에서 多數의 電子數 變化를 얻는 高利得이 된다. 低雜音 어바란스포토다이오드를 얻기 위하여는 材料의 電子 正孔의 이온화率의 比  $x = \alpha/\beta$ 이 要求된다. 그러나 화이버通信의 領域에 쓰여지는 III-V族 化合物 및 混晶半導體에는 거이 1에 가까운 값이 된다. 이것에 대하여 p-i-n 다이오드의 i領域에 超格子를 쓰는 素子가 提案된다는 그 實驗結果가 報告된다. 이 素子를 超格子 어바란스포토다이오드(SUPER-LA ATTICE AVALANCHE PHOTODIODE)라고呼稱한다. i領域은 Al 0.45Ga 0.55As(550A)와 GaAs(450A)를 50層의 무거운 超格子이다. 이 超格子의 傳導帶에 있어서 에너지 差는 價電子帶의 그것보다 크다. 이러한 超格子는 高電界( $2.1\sim2.7\times10^5\text{V/cm}$ )를 주는 때의 에너지一帶의 樣子를 圖 2에 表示한다. AlGaAs의 傳導帶에 있는 電子는 加速됨에 따라 GaAs에 가깝고 傳導帶에너지가 急激히 떨어짐에 따라 電子는 에너지를 얻고 이온화가 強하여 진다. 이 온화率은 GaAs內에는 이 떨어지는 에너지에 對應하여 指數가 增加된다.

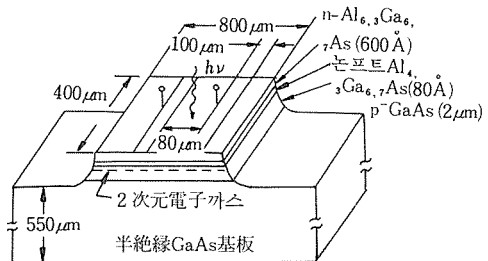
圖 2. 電压印加時の 超格子 언바란스 포트다이オード의 超格子部의 에너지一帶變化



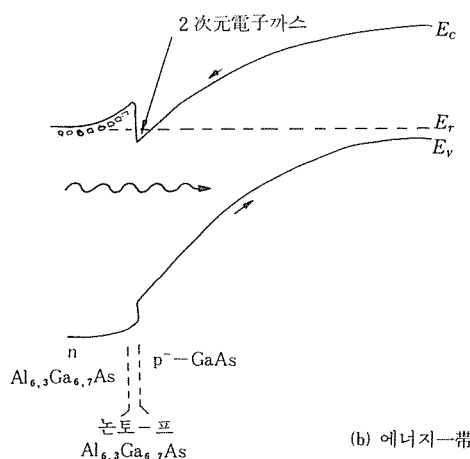
GaAs內에서의 電位降下는 1V로 되어 있어 GaAs로 부터 Al-GaAs로의 障壁은 0.6eV로 되어 있기 때문에 GaAs內의 電子는 이 障壁을 넘어서 AlGaAs內에 들어간다. 그러나 運動 에너지가 적어 짐에 따라 거기에 의한 이온화率도 적게 된다. 全體의 이온화率은  $a(\text{aGaAsLGaAs} + \text{aAlGaAs LAI GaAs}) / (\text{LGaAs} + \text{LAI-GaAs})$ 로서 생긴다. 특히 LGaAS = LA<sub>x</sub>GaAs ≡ L, aAlGaAs ~ 0을 假定하였을 때  $a = \text{aGaAs}/2$ 가 된다.

이미 GaAs內의 電子 이온화率이 倍以上으로 된다면 a는 GaAs 백크내의 이온화率보다도 커지게 된다. 이것에 對하여 價電子帶 에너지 變化는 남게 되어 (~0.08eV), 正孔의 이온화率은 여전히 變化가 없다. 實驗에는 實効的인 x로 되어 約 10의 値을 얻게 된다.

變調 도핑(Modulation Doping)을 써서 바이어스 電壓이 不必要하게 되며 高速의 光



(a) 断面図



(b) 에너지一帶

檢出 素子가 開發 된다. 이 素子의 斷面圖를 圖 3 (a)에 에너지一帶 構造圖를 (b)에 표시한다. 入力光이 圖(a)의 上面 (圖(b)에는 左側)으로 부터 入射되어 P-GaAs에 吸收되어 電子·正孔對를 發生한다. 그 部分에 생기는 電位 勾配에 의해 電子는 變調 도一帶에 의한 溝에 떨어져 正孔은 半絕緣性 GaAs에 行하며 그 電位를 높인다. 圖(a)에 보인 短冊狀의 電極의 한편을 半絕緣基板의 안쪽의 電極에 때리면 이것에 따라 短冊電極間에 電位差가 생겨 溝에 남는 電子를 外部에 끄집어 낼 수 있다. 이 檢出素子의 特徵은 ① 바이어스 電壓을 必要로 하지 않는다. ② 賽電流가 없으며 雜音이 적다. ③ 受光面이  $3.2 \times 10^{-3} \text{ cm}^2$ 로서 넓다. ④ 2次元 電子의 高移動度를 利用할 수 있기 때문에 等価的인 CR 時 定數가 적어져 高速이 된다. 從來의 어바란 스포토다이오드가 100PS-i-n다이오드가 50 PS로 되어 있는 것에 對하여 本 檢出素子는 30PS라는 實驗結果를 얻게 된다. 다만 感度는 0.04V/W로 된다.

### 高出力半導體 레이저

하나의 스트라이프로 부터 얻어진 出力은 지금까지는 被壞限界의 테스트로 390mW로 된다. 高出力用에 있어서 製作되는 것은 通常 55mW로 된다. 이에 대하여 最近 活性層에 量子井戸構造를 써서 10本 스트라이프로 부터 빛을 光導波에 結合하여 位相結合, 모一드 安定을 行하여 綜合的으로 410mW의 出力이 얻어진 半導體레이저가 開發된다.

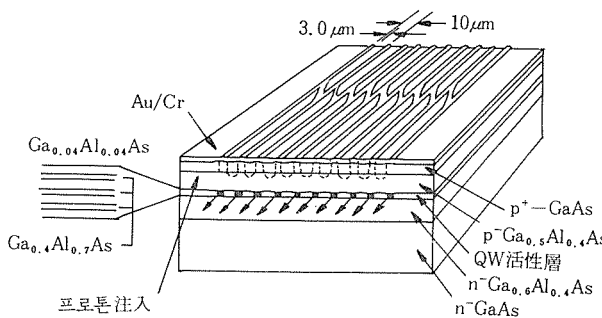


圖 4. 結合多重ストライプ量子井戸注入レイ저

이것을 結合多重ストライプ 量子井戸 注入레이저(COUPLED MULTIPLE STRIPE(CMS) QUANTUM WELL INJECTION LASER)라 称한다. 그 構造斷面을 圖 4에 表示한다.

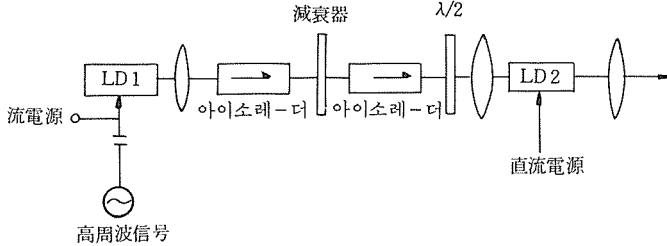
活性層은 130Å 두께의 Ga<sub>0.94</sub>Al<sub>0.06</sub>As이 4 層 40Å 두께의 Ga<sub>0.8</sub>Al<sub>0.2</sub>As가 三層, 交互에 併行된 量子井戸로 부터 된다. 圖에 表示된 바에 의해 プロトン注入에 따라 10體의 스트라이프가 만들어 지며 각스트라이프狀 電極은 中間部에 接續된다. 常溫, 連續發振의 開口電流(日本에서 시기이值 電流를 우리나라에서는 적당한 말이 없어 開口電流로 表記함)는 1.2~1.3KA / cm<sup>2</sup>로서 最大出力으로 410mW를 얻는다. 300mW까지는 安定된 姿態로 發振해 驅動電流에 比例한 出力이 얻어 진다. 꼭 ステイ핑 그스로서 開口數가 0.3, 直徑이 100μm의 光화이버, 5m의 出口端에 約 150mW의 光電力を 얻는다. 發振된 電流에 대한 温度依存性을 表示한 T<sub>0</sub>의 値은 平均 144K로 된다.

### 光增幅 半導體 電子

集積回路가 鎮은 社會全體에 걸쳐 影響이 絶對의이다. 그 集積回路는 多은 트랜지스터의 集積化된 것이므로 트랜지스터는 電氣信號를 增幅하는 素子이다. 한편 光을 情報處理에 쓴 오프트엘렉트로닉스는 次世代에 있어서 대단히 큰 技術領域이 될 것이 期待된다. 그래서 光을 增幅하는 素子의 出現이 強하게 바라진다. 한편 光의 領域에 있어서는 增幅素子가 必要없다는 생각의 하나가 있다. 그것은 光에 의한 情報處理가 많아지는 것은 펄-스波形에 의하기 때문이다. 그렇지만 增幅素子보다도 온·오프를 할 수 있는 스위치素子가 있다면 좋을 것이라는 생각도 있다. 그러나 일단 增幅作用을 나타내는 素子가 出現된다면 出力側으로 부터 入力側에의 歸還量에 의하여 發振, 스위치作用, 다시 履歷特性에 의한 雙安定動作도 가능하게 될 것이다라고 생각한다면 增幅素子는 절대필요한 것이 될 것이다 생각된다. 最近 보고된 光增幅의 實驗結果를 여기에 紹介한다.

圖 5에 半導體레이저를 쓴 增幅實驗例를 본다. 共振長이 같은 레이저 다이오드 LD 1 및 LD 2를 热電素子에 의해  $\pm 0.1^\circ\text{C}$ 의 온도變化

図5. レイ저ダイオードを增幅動作에 사용한 경우의 实験例 (LD는 레이저다이오드를 意味함)



PEIFICATION) 가 있다. 注入로크 方式에는 LD 1 을 低出力으로 LD 2 를 高出力으로 動作 시킨다. LD 1로부터의 레이저光을 LD 2의 活性層에 注入한다. 이에따라 LD 2 예의 光放出은 LD 1로부터 入力光에 의해 誘導됨에 따라 LD 1 과 같은 可干涉光이 LD 2 의 出力에 있어서 얻어지는 것이다. 利得帶域積  $\sqrt{G} B = 25$  GHz 를 얻게 된다.

共振形增幅方式에는 LD 2 에의 驅動電流工을  
發振電流  $I+h$  보다 적고 낮자  $I/I_{th}=0.94\sim 1$ 로  
서 誘導放出을 행하며 그쪽에 놓여진다. LD 1  
으로부터 入力光에 있어서는 光이 들어가 나오  
며 이 光이 誘導放出을 誘因하는 형태가 되며  
入力光보다도 增大된 光을 얻게 된다. 實驗結果  
에는 入力光  $-60\sim -40 \text{dBm}$ 로서 利得  $12\sim 25$   
 $\text{dB}$ 를 얻는다. 레이저는 發光  $\rightarrow$  誘導放出增大  $\rightarrow$   
發光이라는 内部正歸還을 되받아 一定飽和振幅

내에 갖는다. 増幅動作을 行하는 것은 注入로크  
增幅 (INJECTION LOCHED AMPLIFICATION) 과 共振形增幅 (RESONANT TYPE AM-

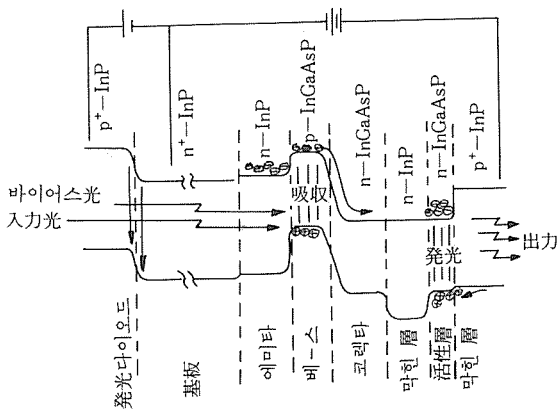
実験例 (LD는 레이저다이오드를 意味함)

에 떨어져 發振을 계속하게 되는 것이다. 그러나 後者の 增幅動作에는 飽和出力에 달하기 전에 出力光이 誘導放出을 일으키게 되어 光(入力)의 強한 比例하는 것을 利用하는 方法이다.

圖 6에 따로 動作原理에 의한 光增幅 半導體의 에너지一帶 構造를 보여준다. InP 基板위에 InP, InGaAsP 등을 6層 成長시킨다.

InGaAsP의 組成은 使用光의 波長에 의해 決定된다. 左側으로 부터 들어간 入力光은 베이스層에 吸收되어 그 層에 電子 正孔對가 생긴다. 電子는 圖에 보여주는 바와 같이 에미타까지는 코렉타層에 流出된다. 베이스層에 달혀진 正孔은 베이스層의 電位를 높인다. 그 結果 에미타·베이스接合部의 電位障壁이 낮아짐에 따라 多數의 電子가 에미타로 부터 베이스를 通過活 性層에 到着한다. 베이스·콘넥타의 接合部에 逆으로 바이어스 電壓을 加하여 高抵抗이 되면 이 電流의 흐름에 의해 低抵抗이 된다. 그 結果 電壓이  $P^+ - InP$ 가 달려지는 層과 n-InGaAsP의 接合部에 加하여 正孔이 活性層에 注入된다.

活性層에는 電子·正孔의 再結合이 생겨 出力光을 얻게 된다. 寫真 1 (a)에 InP 基板위에 多層成長된 웨이퍼에 메사에치 (MESA H)를 實施해 獨立된 圓形의 增幅素子를 보인다. 輪狀의 흰 부분이 電極으로 희고 넓은 部分에 프로프에 의해 電壓을 印加한다. 光은 이素子의 안쪽으로부터 들어가 上部에 出力光을 드러낸다. 寫真 1 (b)에는 메사에치의 가장자리 부분을 나타낸다. 이러한 素子에 의해  $1\mu\text{m}$  帶波長에는 1.3倍의



增幅을 다시 微分 增幅하여 6 ~ 7 倍의 結果를 얻는다. 實際의 素子에는 出力으로부터 光이 正歸還되어 入力側에 돌아온을 억제하는 것에 고렉타層과 달혀지는 層과 사이에 ベンド幅의 좁은 層

(a) 電子顕微鏡像 直径約300μm의 素子

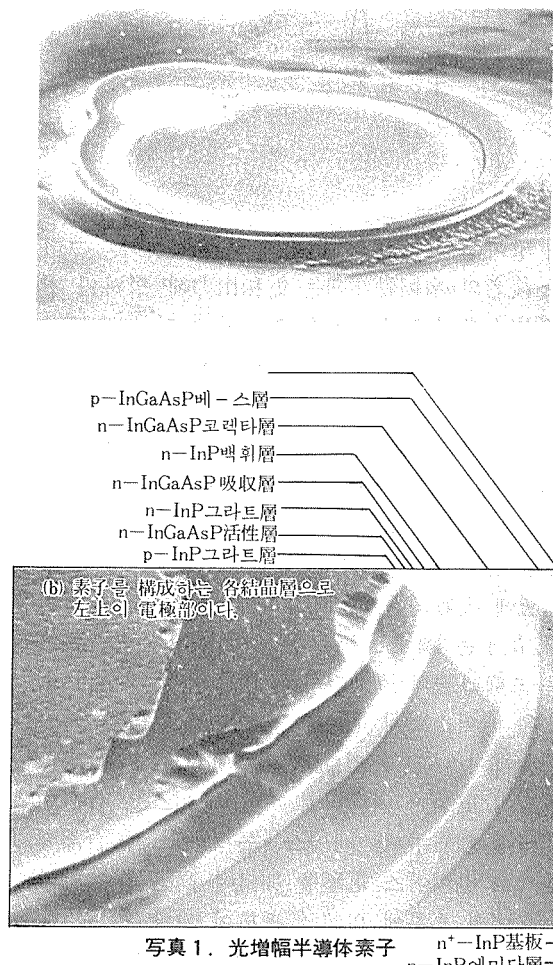
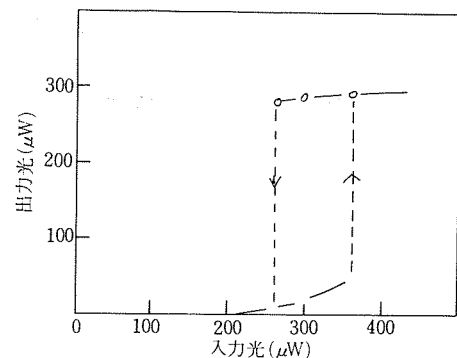


写真1. 光増幅半導体素子  $n^+$ -InP基板  
n-InPエミッタ層

을 設置하여 出力光의 入力에의 귀환을 억지한다. 이층을 얇게 하며 달려 나가는 것은 入力光이 弱하게 增幅作用을 하여 강하게 되는 것과 飽和 發振 동작을 행하는 것과 같다. 이 현상에 따라 圖7에 보는 것과 같이 入力光과 出力光이 關係에 履歷現象까지는 光雙安定特性이 생기게 된다. 다시 圖6의 n-InP의 달힌 層을 얇게 하는 것은 ベンド幅을 좁게하여 正孔에 의한 正歸還이 加하여 지는 것에 따라 入力光이 弱한 경우에도 바로 飽和 發振動作을 行하게 된다. 이러

図7. 光増幅新機能素子에 의한 光双安定特性



때에는 微弱入力光에 의해 増大된一定 出力光이 素子로 부터 放射되는 것과 同時に 電氣的으로 온 상태가 되어 光, 電氣라는 一種의 스위치動作을 行한다. 이 素子는 入力光으로 부터 出力光에 光信號가一定 方向으로 흘러가는 것의 一方向(UNIDIRECTIONAL) 特性을 갖는다.

現在의 素子에는 成長된 것으로는 圖6에 나타내는 것과 같은 基板의 안쪽(圖에서는 左側)에  $P^+$ -InP 層을 마련한다.

이것을 基板의  $n^+$ -InP 層과 같은 發光 다이오드를 구성한다. 이 發光다이오드로부터 光에 의해 光増幅素子에 電流 보다 적고 낮은 바이어스電流를 흘러 보내게 된다. 이와같이 微弱 入力光에도 出力側에 바로 레이저 發振의 光을 얻게 된다. 電氣的인 素子에는 베이스에 電極을 붙혀 電氣的인 바이어스 電流를 흐르게 하는 것이다. 그러나 光디바이어스에는 通常 그 構造, 規格值로 부터 電氣的인 바이어스를 마련하는 것은 困難하다. 本素子에는 새로운 方法으로 되

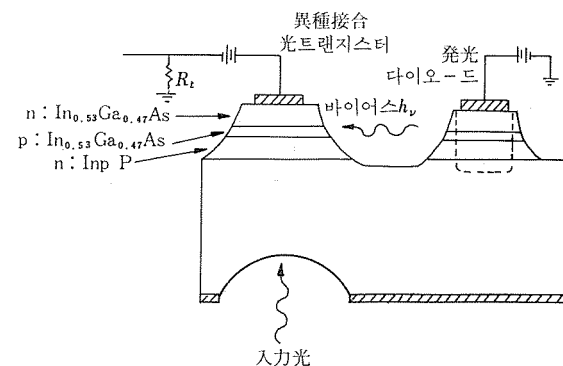


図8. 光バイアス法を用いた 光トランジスター 検出素子

어 있는 光バイアス方法을 提案해 그것을 實施하는 위에 모노리크에 集積된 것을 圖6에 나타내게 된다. 이 光バイア스 方式을 받아드리는 것은 光檢出의 性能向上을 행하는 것이라는 報告가 있다. 그 디바이스의 斷面圖를 圖8에 나타낸다. 여기에 發光다이오드의 部分에 點線으로 주위의 것은 Zn을 도입하여 P形으로 된 部分이다. 이 部分과 基板 사이에  $P^{-n}$  接合 發光다이오드를 구성한다. 光트랜지스터를 微少信號領域에서 動作시킬 때 비록 트랜지스터 d가 적어지나 그 特性은 좋아지지 않는다.

또한 素子의 抵抗도 커진다. 이것에 대하여 圖9에 보는 것과 같이 發光다이오드로 부터 光에 의한 바이어스 電流에 따라 처음 應答時間에 있어서 210ns로 부터 70ns에 利得이 30으로 부터 60의 向上되는 結果를 얻는다.

圖6에 나타낸 素子는 바이어스用의 發光다이오드가 없고 材料가 GaAs, A1GaAs에 의한 素子에도 入力光과 出力光의 波長을 바꾸어 利得을 붙은 波長變換 디바이스로서 研究가 행하여 진다. 다시 画像 處理用의 디바이스에 있어서 아레이狀에 의한 것도 報告되었다.

### 光雙安定 素子

光雙安定素子는 光電算機에 必要한 디바이스로 생각된다. 앞서의 光增幅素子는 光雙安定 動

作을 행하여 얻는다. 다른 方式에는 후프리 페로—共振器內의 非線形 光學物質을 들어 가게 하는 것임에 따라 雙安定을 얻게 된다. 그러나 그 規格值 및 動作電力이 언제 라도 크다. 제

最近 半導體의 量子#戶中의 自由励起子를 利用한 光雙安定素子가 報告되었다.

그것을  $336\text{\AA}$  두께의 GaAs과  $401\text{\AA}$ 의 Ga0.73A1 0.27를 하나로 묶은 것이 61組로 부터 이루어진 量子#戶로서 動作電力이  $1\text{mW}/\mu\text{m}^2$ , 스위치 速度가 20~40ns로서 常溫動作 可能한 것이다.

光領域에 있어서 素子는 從來 p-i-n 다이오드, 어바린스포토 다이오드 및 半導體 레이저를 主로 하는 것에는 전적으로 高速 光通信에의 것이 焦點이 합쳐지고 있다.

그러나 本稿에서 본 것과 같이 光檢出 素子에도 이제는 새로운 動作原理에 의한 것. 또한 半導體레이저에도 그 出力에 종래의 것을 크게 능가하는 것이 出現하고 있다. 다시 從來의 光半導體 素子 機能의 범주외에 機能을 가진 새로운 光半導體素子가 나타나게 된다. 이러한 것의 出現은 光技術을 단지 通信의 범위에 머물게 하지 않고 光센서, 光計測, 光論理, 画像處理에의 應用範圍를 擴大하는 대단히 중요한 영향을 미치게 될 것으로 생각된다.